

ностроит. пром-сти, Уфим. авиац. ин-т, Уфим. нефтян. ин-т. – Уфа : [б. и.], 1958. – 190 с.

3. Болотовский И. А., Болотовский Т. П., Смирнов В. Э. Справочник по корректированию зубчатых колес / под ред. И. А. Болотовского. – М. ; Свердловск : Машгиз, Урало-Сиб. отд-ние, 1962. – 215 с.

4. Гольдфарб В. И., Ткачев А. А. Проектирование эвольвентных цилиндрических передач. Новый подход. – Ижевск : Изд-во ИжГТУ, 2004. – 94 с.

5. Громан М. Б. Подбор коррекции зубчатых передач // Вестн. машиностроения. – 1955. – № 2. – С. 3–13.

6. ГОСТ 16532–70. Передачи зубчатые цилиндрические эвольвентные внешнего зацепления. Расчет геометрии. – М. : Изд-во стандартов, 1987. – 41 с. – URL: <http://vsegost.com/Catalog/42/42828.shtml> (дата обращения: 20.05.2013).

7. ГОСТ 21354–87. Передачи зубчатые цилиндрические эвольвентные внешнего зацепления. Расчет на прочность. – М. : Изд-во стандартов, 1987. – 129 с. – URL: <http://vsegost.com/Catalog/11/11895.shtml> (дата обращения: 20.05.2013).

\* \* \*

V.I. Goldfarb, DSc in Engineering, Professor, Kalashnikov Izhevsk State Technical University

S.A. Poskrebyshev, Post-graduate, Kalashnikov Izhevsk State Technical University

A.A. Tkachev, PhD in Engineering, Associate Professor, Kalashnikov Izhevsk State Technical University

### **Improvement of gear strength analysis on the base of dynamic blocking contour concept**

*The concept of a dynamic blocking contour (DBC) is one of the new approaches to spur and helical gear design. The article describes one method of further developing the DBC concept. Some new lines – “tools” are shown, related to strength gear characteristics, which can be added to the set of lines already used in the “Contour” CAD-system developed on the base of the concept. Some new possibilities of the CAD-system with new lines are also described.*

**Keywords:** spur and helical gear, dynamic blocking contour, strength calculation

Получено: 25.04.13

УДК 629.1.02

*A. Р. Имангулов, магистрант,  
H. M. Филькин, доктор технических наук, профессор  
Ижевский государственный технический университет  
имени М. Т. Калашникова*

## **МАТЕМАТИЧЕСКОЕ МОДЕЛИРОВАНИЕ ДИНАМИКИ ТРАНСМИССИИ ГИБРИДНОГО АВТОМОБИЛЯ ПАРАЛЛЕЛЬНОЙ КОМПОНОВОЧНОЙ СХЕМЫ**

*В настоящее время одним из основных способов решения экологических проблем, вызванных современным автомобилестроением, является разработка автомобилей с гибридными энергосиловыми установками. Рассмотрена математическая модель работы гибридного автомобиля параллельной компоновочной схемы с механической трансмиссией с упруго-демпфирующими звенями.*

**Ключевые слова:** гибридный автомобиль, трансмиссия, упруго-демпфирующее звено, математическая модель

Динамические процессы в трансмиссии автомобиля целесообразно разделить на два вида: переходные процессы, возникающие при неустановившемся режиме движения автомобиля (при включении и выключении муфты сцепления, при переключении передач, при резком торможении, при переезде через различные препятствия и т. д.), и процессы, возникающие при установленвшемся режиме движения автомобиля, т. е. при постоянной скорости его движения [1].

Во время протекания неустановившихся переходных процессов детали трансмиссии автомобиля испытывают значительные динамические нагрузки, которые могут привести к поломке деталей и выходу автомобиля из строя. Согласно [2], при резком включении сцепления нагрузки в трансмиссии могут быть в 3–4 раза больше максимального крутящего момента двигателя, что может привести к поломке деталей.

Так как на сегодняшний день одним из основных путей решения экологических проблем, созданных

современным автомобилестроением, является разработка автомобилей с гибридными энергосиловыми установками (ГЭСУ), состоящими из двигателей внутреннего сгорания (ДВС) и электродвигателя (ЭД), то и актуальным является вопрос исследования динамических процессов в трансмиссии гибридного автомобиля.

В общем случае в силу инерционности деталей трансмиссии машины при передаче крутящего момента от двигателя к движителю происходит закручивание валов, т. е. трансмиссия работает как упругий элемент. Кроме того, в трансмиссии возникают силы неупругого сопротивления (демпфирования), зависящие от трения в трансмиссии, угловой скорости вращения, частоты изменения подводимого крутящего момента и ряда других факторов [3].

Рациональной для исследования динамических процессов, протекающих в трансмиссиях гибридных автомобилей с колесной формулой 4 × 2, является приведенная динамическая модель, изображенная на

рис. 1. Маховыми массами приведенной динамической модели соответствуют моменты инерции:  $J_{em}$  – вращающихся масс электродвигателя;  $J_{ice}$  – вращающихся масс двигателя внутреннего сгорания и маховика;  $J_{bd}$  – ременной передачи соглашующего редуктора и ведущих деталей сцепления;  $J_1$  – ведомых деталей сцепления;  $J_2$  – деталей коробки передач;  $J_3$  – деталей карданной передачи;  $J_4$  – деталей карданной и главной передач с дифференциалом;  $J_5$  – полуосей и ведущих колес автомобиля;  $J_6$  – балки ведущего моста относительно оси вращения колес;  $J_7$  – маховика, эквивалентного поступательно движущейся массе автомобиля. Упругим звеньям соответствуют крутильные жесткости:  $c_{em}$  – привода электродвигателя;  $c_d$  – демпфера;  $c_1$  – первичного вала;  $c_2$  – деталей коробки передач;  $c_3$  – карданной и главной передач;  $c_4$  – полуосей;  $c_5$  – шин ведущих колес;  $c_6$  – упругих элементов подвески на выкручивание. Диссипативным звеньям соответствуют коэффициенты демпфирования  $K_{em}$ ,  $K_1$ ,  $K_2$ ,  $K_3$ ,  $K_4$ ,  $K_5$ ,  $K_6$  определенных упруго-демпфирующими участков.

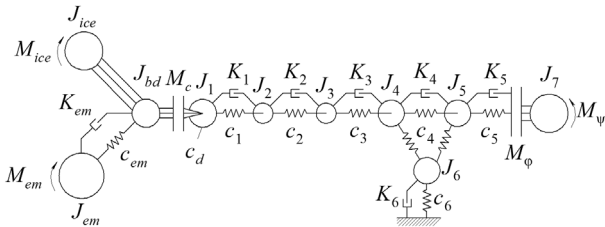


Рис. 1. Приведенная динамическая модель трансмиссии гибридного автомобиля

Электродвигатель создает крутящий момент  $M_{em}$ , а двигатель внутреннего сгорания – момент  $M_{ice}$ . Крутящие моменты  $M_{em}$  и  $M_{ice}$  определяются внешними скоростными характеристиками соответствующих двигателей.

К массе  $J_1$  приложен момент трения в сцеплении  $M_c$  (при буксующем сцеплении), который задается в виде экспоненциальной зависимости [4]:

$$M_c = M_{c\max} (1 - e^{-k t_c}), \quad (1)$$

где  $M_{c\max}$  – статический момент полностью включенного сцепления;  $k$  – константа, характеризующая темп включения сцепления.

Для автомобильных сцеплений

$$M_{c\max} = \beta_c \cdot M_{\max}, \quad (2)$$

где  $\beta_c$  – коэффициент запаса сцепления;  $M_{\max}$  – максимальный крутящий момент ГЭСУ.

Константа, характеризующая темп включения сцепления, определяется исходя из следующей формулы:

$$k = \frac{3}{t_c}, \quad (3)$$

где  $t_c$  – время включения сцепления.

Передаваемый ведущими колесами момент ограничен моментом  $M_\phi$ :

$$M_\phi = \varphi \cdot G_\phi \cdot r_0, \quad (4)$$

где  $\varphi$  – коэффициент сцепления;  $G_\phi$  – сцепной вес автомобиля;  $r_0$  – радиус качения колеса без скольжения.

К массе  $J_7$  приложен момент сопротивления движению  $M_\psi$ , равный сумме моментов сопротивления качению шин автомобиля  $M_f$ , сопротивления подъему  $M_A$  и аэродинамического сопротивления  $M_w$ :

$$\begin{aligned} M_\psi &= M_f + M_A + M_w = \\ &= r_0(f \cdot m_a \cdot g \cdot \cos A + m_a \cdot g \cdot \sin A + 0,39 \cdot C_x \cdot \rho \cdot B_a \cdot H_a \cdot V^2), \end{aligned} \quad (5)$$

где  $f$  – коэффициент сопротивления качению;  $m_a$  – полная масса автомобиля;  $g$  – ускорение свободного падения;  $A$  – величина угла подъема;  $C_x$  – коэффициент обтекаемости;  $\rho$  – плотность воздуха;  $B_a$  – наибольшая ширина автомобиля;  $H_a$  – наибольшая высота автомобиля;  $V$  – скорость движения автомобиля.

В соответствии с выбранной схемой динамической модели работы машины, изображенной на рис. 1, в общем случае у машины девять степеней свободы, однозначно определяющих ее состояние. В качестве обобщенных координат возьмем следующие независимые друг от друга параметры, число которых равно числу степеней свободы машины:  $\phi_{ice}$  – угол поворота вала ДВС, выходного вала соглашующего редуктора и ведущих деталей муфты сцепления;  $\phi_{em}$  – угол поворота вала ЭД;  $\varphi_1$  – угол поворота ведомых деталей муфты сцепления;  $\varphi_2$  – угол поворота вращающихся деталей коробки передач;  $\varphi_3$  – угол поворота вращающихся деталей карданной передачи;  $\varphi_4$  – угол поворота вращающихся деталей карданной и главной передач с дифференциалом;  $\varphi_5$  – угол поворота полуосей и ведущих колес автомобиля;  $\varphi_6$  – угол поворота балки ведущего моста относительно оси вращения колес;  $\varphi_7$  – угол поворота маховика, эквивалентного поступательно движущейся массе автомобиля.

Вывод системы дифференциальных уравнений работы гибридного автомобиля параллельной компоновочной схемы с механической трансмиссией с упруго-демпфирующими звенями можно провести на основании принципа Даламбера:

$$F_i + N_i + F_i^j = 0, \quad (6)$$

где  $F_i$  – действующая на каждую  $i$ -ю точку системы активная сила;  $N_i$  – реакция связи, наложенной на точку;  $F_i^j$  – сила инерции.

Следовательно, система дифференциальных уравнений движения системы, приведенной на рис. 2, запишется в следующем виде:

$$\begin{cases} J_{em} \cdot \ddot{\phi}_{em} = M_{em} - c_{em} \cdot (\phi_{em} - \phi_{ice}) + K_{em} \cdot (\dot{\phi}_{em} - \dot{\phi}_{ice}); \\ (J_{ice} + J_{bd}) \cdot \ddot{\phi}_{ice} = c_{em} \cdot (\phi_{em} - \phi_{ice}) + K_{em} \cdot (\dot{\phi}_{em} - \dot{\phi}_{ice}) - M_c; \\ J_1 \cdot \ddot{\phi}_1 = M_c - c_1^* \cdot (\phi_1 - \phi_2) - K_1 \cdot (\dot{\phi}_1 - \dot{\phi}_2); \\ J_2 \cdot \ddot{\phi}_2 = c_1^* \cdot (\phi_1 - \phi_2) + K_1 \cdot (\dot{\phi}_1 - \dot{\phi}_2) - c_2 \cdot (\phi_2 - \phi_3) - K_2 \cdot (\dot{\phi}_2 - \dot{\phi}_3); \\ J_3 \cdot \ddot{\phi}_3 = c_2 \cdot (\phi_2 - \phi_3) + K_2 \cdot (\dot{\phi}_2 - \dot{\phi}_3) - c_3 \cdot (\phi_3 - \phi_4) - K_3 \cdot (\dot{\phi}_3 - \dot{\phi}_4); \\ J_4 \cdot \ddot{\phi}_4 = c_3 \cdot (\phi_3 - \phi_4) + K_3 \cdot (\dot{\phi}_3 - \dot{\phi}_4) - c_4 \cdot (\phi_4 - \phi_5 - \phi_6) - K_4 \cdot (\dot{\phi}_4 - \dot{\phi}_5 - \dot{\phi}_6); \\ J_5 \cdot \ddot{\phi}_5 = c_4 \cdot (\phi_4 - \phi_5 - \phi_6) + K_4 \cdot (\dot{\phi}_4 - \dot{\phi}_5 - \dot{\phi}_6) - c_5 \cdot (\phi_5 - \phi_7) - K_5 \cdot (\dot{\phi}_5 - \dot{\phi}_7); \\ J_7 \cdot \ddot{\phi}_7 = c_5 \cdot (\phi_5 - \phi_7) + K_5 \cdot (\dot{\phi}_5 - \dot{\phi}_7) - M_\psi; \\ J_6 \cdot \ddot{\phi}_6 = c_4 \cdot (\phi_4 - \phi_5 - \phi_6) + K_4 \cdot (\dot{\phi}_4 - \dot{\phi}_5 - \dot{\phi}_6) - c_6 \cdot \phi_6 - K_6 \cdot \dot{\phi}_6, \end{cases} \quad (7)$$

где  $c_1^* = \frac{c_d \cdot c_1}{c_d + c_1}$ .

Математические модели машин разрабатываются с целью проведения исследований и поиска наиболее рациональных (оптимальных) технических решений при проектировании новых или модернизации серийных моделей машин. При этом экспериментальные методы исследований применяются для определения исходных конструктивных параметров и характеристик исследуемой машины, а также при доказательстве адекватности математических моделей работе проектируемой машины.

#### Библиографические ссылки

1. Стефанович Ю. Г., Лунев И. С. Исследование процессов динамики нагружения трансмиссии автомобиля // Труды Третьего совещания по основным проблемам теории машин и

механизмов. Динамика машин : сб. ст. / Гос. ком. Совета Министров СССР по автоматизации и машиностроению. Ин-т машиноведения ; [ред. коллегия: акад. И. И. Артоболевский (пред.) и др.]. – М. : Машгиз, 1963. – С. 248–249.

2. Вахрамов В. К. Конструкция, расчет и эксплуатационные свойства автомобилей : учеб. пособие для студентов высш. учеб. заведений. – М. : Академия, 2007. – 560 с.

3. Имангулов А. Р., Филькин Н. М. Математическое моделирование динамики легкового автомобиля с упруго-демпфирующими механическими звенями // Современная техника и технологии: проблемы, состояние и перспективы : материалы I Всерос. науч.-техн. конф. / Рубц. индустр. ин-т (фил.) ФГБОУ ВПО «Алт. гос. техн. ун-т им. И. И. Ползунова». – Рубцовск, 2011. – С. 410.

4. Автомобили: Конструкция, конструирование и расчет. Трансмиссия : учеб. пособие / А. И. Гришкевич, В. А. Бавуло, А. В. Карпов и др. ; под. ред. А. И. Гришкевича. – Минск : Вышэйш. шк., 1985. – 240 с.

\* \* \*

A. R. Imangulov, Master's degree student, Kalashnikov Izhevsk State Technical University  
N. M. Filkin, DSc in Engineering, Professor, Kalashnikov Izhevsk State Technical University

#### Mathematical modeling of the dynamics of parallel hybrid car transmission

*At the present time one of the main methods of solving the environmental issues caused by modern automotive industry is the development of vehicles with hybrid energy-power plants. The mathematical model of operation of parallel hybrid car with mechanical transmission with elastic-damping links is examined in the article.*

**Keywords:** hybrid car, transmission, elastic-damping link, mathematical model

Получено: 03.04.2013

УДК 621.9.014

С.Д. Кугультинов, доктор технических наук, профессор;

А.С. Жиляев, студент

Ижевский государственный технический университет  
имени М. Т. Калашникова

## СОВЕРШЕНСТВОВАНИЕ ПРОЦЕССА ФРЕЗЕРОВАНИЯ ДЕТАЛЕЙ СЛОЖНОЙ ФОРМЫ ИЗ АЛЮМИНИЕВЫХ СПЛАВОВ БЛАГОДАРЯ УПРАВЛЕНИЮ ВЕЛИЧИНОЙ СИЛЫ РЕЗАНИЯ

*Приведены результаты экспериментальных исследований сил резания при фрезеровании крупногабаритных тонкостенных деталей сложной формы из алюминиевых сплавов.*

**Ключевые слова:** алюминиевые сплавы, режимы резания, силы резания, экспериментальные исследования, фрезерование